

## 1. Grundlagen

**1.1. Einheitskreis**  $\sin^2(x) + \cos^2(x) = 1$

$\varphi$	$0^\circ$	$30^\circ$	$45^\circ$	$60^\circ$	$90^\circ$	$180^\circ$	$270^\circ$	$360^\circ$
$x$	0	$\frac{\pi}{6}$	$\frac{\pi}{4}$	$\frac{\pi}{3}$	$\frac{\pi}{2}$	$\pi$	$\frac{3}{2}\pi$	$2\pi$
$\sin$	0	$\frac{1}{2}$	$\frac{\sqrt{2}}{2}$	$\frac{\sqrt{3}}{2}$	1	0	-1	0
$\cos$	1	$\frac{\sqrt{3}}{2}$	$\frac{1}{\sqrt{2}}$	$\frac{1}{2}$	0	-1	0	1
$\tan$	0	$\frac{\sqrt{3}}{3}$	1	$\sqrt{3}$	$\pm\infty$	0	$\mp\infty$	0

**1.1.1. Kreuzprodukt (Vektorprodukt)**

$$a \times b = \begin{pmatrix} a_1 \\ a_2 \\ a_3 \end{pmatrix} \times \begin{pmatrix} b_1 \\ b_2 \\ b_3 \end{pmatrix} = \begin{pmatrix} a_2 b_3 - a_3 b_2 \\ a_3 b_1 - a_1 b_3 \\ a_1 b_2 - a_2 b_1 \end{pmatrix} \quad a, b \in \mathbb{R}^3$$

$$a \times b = -b \times a$$

$$\|a \times b\| = \|a\| \cdot \|b\| \cdot \sin(\angle(a, b)) \hat{=} \text{Fläche des Parallelogramms}$$

**1.2. Koordinatensysteme - Transformation**

	kartesisch	zylindrisch	sphärisch
kartesisch		$x = \rho \cos \varphi$ $y = \rho \sin \varphi$ $z = z$	$x = r \sin \theta \cos \psi$ $y = r \sin \theta \sin \psi$ $z = r \cos \theta$
zylindrisch	$\rho = \sqrt{x^2 + y^2}$ $\varphi = \arctan \frac{y}{x}$ $z = z$		$\rho = r \sin \theta$ $\varphi = \psi$ $z = r \cos \theta$
sphärisch	$r = \sqrt{x^2 + y^2 + z^2}$ $\theta = \arctan \frac{\sqrt{x^2 + y^2}}{z}$ $\psi = \arctan \frac{y}{x}$	$r = \sqrt{\rho^2 + z^2}$ $\theta = \arctan \frac{\rho}{z}$ $\psi = \varphi$	

**1.3. Allgemein**

Ortsvektor:  $\underline{r}(t)$

Geschwindigkeit:  $\underline{v}(t) = \dot{\underline{r}}(t) = \dot{s} \cdot \underline{\tau}$   
 $\underline{\tau}$  tangentialer Einheitsvektor an Bahnkurve

Beschleunigung:  $\underline{a}(t) = \dot{\underline{v}}(t) = \dot{\underline{r}}'(t)$

Schnelligkeit:  $\dot{s} = |\underline{v}(t)| = |\dot{\underline{r}}(t)|$

Tang. Einheitsv.:  $\underline{\tau} = \frac{\underline{v}}{|\underline{v}|}$

**1.4. Kartesisch**

Ortsvektor:  $\underline{r}(t) = x(t)\underline{e}_x + y(t)\underline{e}_y + z(t)\underline{e}_z$

Geschwindigkeit:  $\underline{v}(t) = \dot{\underline{r}}(t) = \dot{x}(t)\underline{e}_x + \dot{y}(t)\underline{e}_y + \dot{z}(t)\underline{e}_z$

Schnelligkeit:  $\dot{s} = |\underline{v}(t)| = \sqrt{\dot{x}^2 + \dot{y}^2 + \dot{z}^2}$

**1.5. Zylindrisch**

Ortsvektor:  $\underline{r}(t) = \rho(t)\underline{e}_\rho(\varphi(t)) + z(t)\underline{e}_z$

Geschwindigkeit:  $\underline{v}(t) = \dot{\underline{r}}(t) = \dot{\rho}(t)\underline{e}_\rho + \rho\dot{\varphi}(t)\underline{e}_\varphi + \dot{z}(t)\underline{e}_z$

Schnelligkeit:  $\dot{s} = |\underline{v}(t)| = \sqrt{\dot{\rho}^2 + (\rho\dot{\varphi})^2 + \dot{z}^2}$

Einheitsv. in Abh.:  $\underline{e}_\rho = \cos \varphi \underline{e}_x + \sin \varphi \underline{e}_y$   
 $\underline{e}_\varphi = -\sin \varphi \underline{e}_x + \cos \varphi \underline{e}_y$   
 $\underline{e}_z \rightarrow \text{konstant}$

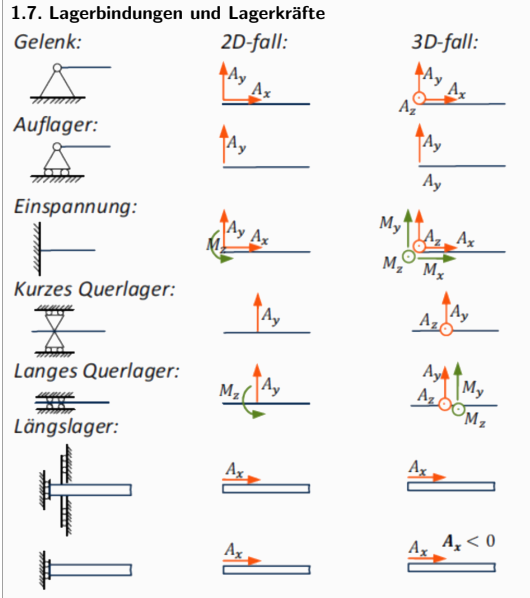
**1.6. Sphärisch**

Ortsvektor:  $\underline{r}(t) = r(t)\underline{e}_r(\theta(t), \psi(t))$

Geschwindigkeit:  $\underline{v}(t) = \dot{\underline{r}}(t) = \dot{r}(t)\underline{e}_r + r\dot{\theta}(t)\underline{e}_\theta + r\sin\theta\dot{\psi}(t)\underline{e}_\psi$

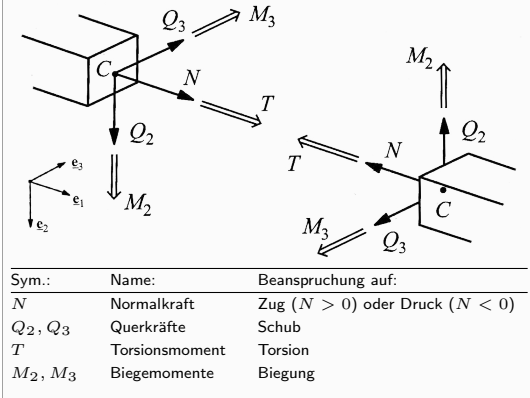
Schnelligkeit:  $\dot{s} = |\underline{v}(t)| = \sqrt{\dot{r}^2 + (r\dot{\theta})^2 + (r\sin\theta\dot{\psi})^2}$

Einheitsv. in Abh.:  $\underline{e}_r = \sin \theta \cos \psi \underline{e}_x + \sin \theta \sin \psi \underline{e}_y + \cos \theta \underline{e}_z$   
 $\underline{e}_\theta = \cos \theta \cos \psi \underline{e}_x + \cos \theta \sin \psi \underline{e}_y - \sin \theta \underline{e}_z$   
 $\underline{e}_\psi = -\sin \psi \underline{e}_x + \cos \psi \underline{e}_y$



**2. Beanspruchung in geraden Balken**

**2.1. Grundlagen**  
Wirken auf einen Stab Kräfte entstehen innerhalb des Stabes folgende Beanspruchungskomponenten (3D  $\rightarrow$  6 Stück):



**Bestimmung der Beanspruchung**

- Lagerkräfte am Gesamtsystem bestimmen
- Körper schneiden, Laufvariable und Schnittgrößen einführen
- Gleichgewichtsbedingungen für das abgegrenzte System aufstellen, Schnittgrößen berechnen, Momentenbedingung bezüglich Schnittpunkt!
- Je nach Aufgabenstellung, Beanspruchungsdiagramm zeichnen

**2.2. Differentialbeziehungen**  
Differentialbeziehungen stellen Beziehung zwischen Querkraft, Moment und Belastung dar. Diese gelten für gerade Stabträger.  $q$  steht für Kraftverteilung.

$$Q'_y = \frac{d}{dx} Q_y = -q_y \quad Q'_z = \frac{d}{dx} Q_z = -q_z$$

$$M'_z = \frac{d}{dx} M_z = -Q_y \quad M'_y = \frac{d}{dx} M_y = Q_z$$

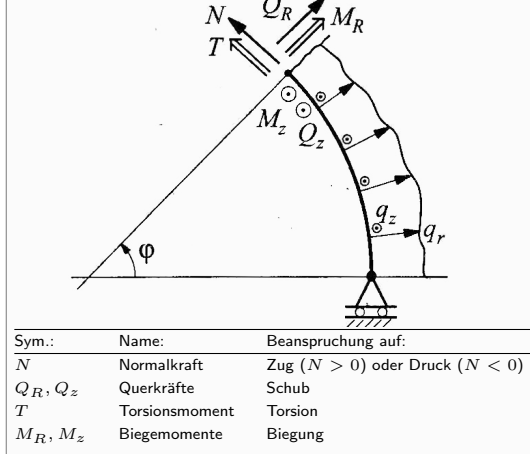
$$M''_z = \frac{d^2}{dx^2} M_z = q_y \quad M''_y = \frac{d^2}{dx^2} M_y = -q_z$$

**Wichtig:** Niemals über unstetige Belastungen (Einzelkräfte und Momente) integrieren. Bestimmungen der Integrationskonstanten aus folgenden Randbedingungen:

Lagerart	Symbol	Q	M	N
-Auflager		$Q \neq 0$	$M = 0$	$N = 0$
-Festlager		$Q \neq 0$	$M = 0$	$N \neq 0$
-Einspannung		$Q \neq 0$	$M \neq 0$	$N \neq 0$
-Freies Ende		$Q = 0$	$M = 0$	$N = 0$
-Gelenk		$Q \neq 0$	$M = 0$	$N \neq 0$

## 3. Beanspruchung in gekrümmten Balken

**3.1. Grundlagen**  
Es lohnt sich hier in Polarkoordinaten zu rechnen.



**Bestimmung der Beanspruchung**

- Lagerkräfte bestimmen
- Balken schneiden und neue Laufvariable  $\varphi$  einführen
- Beanspruchungskomponenten einführen
- Gleichgewichtsbedingungen aufstellen. Bei Integration eine neue Integrationsvariable  $\alpha$  einführen und von 0 bis  $\varphi$  integrieren

**3.2. Differentialbeziehungen**  
Die Vorzeichen stehen in direkter Beziehung mit der Richtung der eingeführten Schnittgrößen. Diese gelten für gekrümmte Balken.

$$Q'_r - N + R \cdot q_r = 0$$

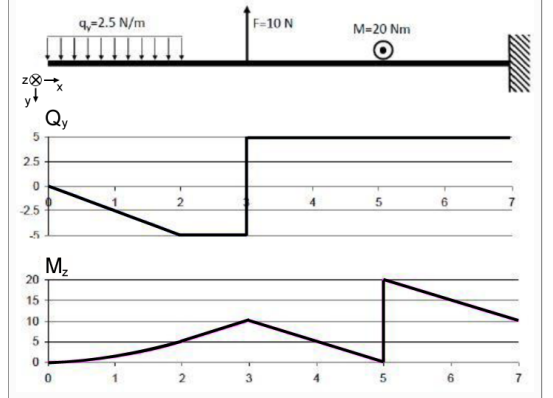
$$Q'_z + R \cdot q_z = 0$$

$$M'_r - T + R \cdot Q_z = 0$$

$$M'_z - R \cdot Q_r = 0$$

## 4. Beanspruchungsdiagramme

Lastfall:	Einfl. auf Querkraft:	Einfl. auf Biegemom.:
Einzelmoment	-	Sprung
Einzelkraft	Sprung	Linear/Knick
Gleichförm. Kraftvert.	Linear	Quadratisch
Dreiecksverteilung	Quadratisch	Kubisch



## 4.1. Lösungsmethoden

**Knotengleichgewicht**

- Lagerkräfte bestimmen
- Gleichgewichtsbedingungen an jedem Knoten aufstellen. Stabkräfte als Zugkräfte einführen (Pendelstütze)
- Gleichgewichtssysteme auflösen  $\rightarrow$  Stabkräfte  $S_i$
- $S > 0 \rightarrow$  Belastung auf Zug  
 $S < 0 \rightarrow$  Belastung auf Druck

**Dreikräfteschnitt**

- Lagerkräfte bestimmen
- an einer geeigneten Stelle max. 3 Stäbe durchschneiden und Stabkräfte  $S_i$  einführen
- Momentengleichgewicht am Schnittpunkt zweier unbekannter Stabkräfte  $\rightarrow$  Berechnung der dritten Stabkraft
- Komponentenbedingung  $\rightarrow$  Bestimmung der beiden anderen unbekannter Stabkräfte

**Prinzip der virtuellen Leistungen (PdvL)**

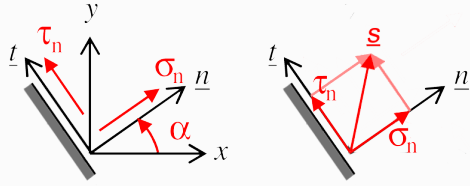
- Stab entfernen und Stabkraft  $S_i$  als Zugkraft (+) einführen
- zulässige virtuelle Bewegung einführen, d.h. eine Bewegung einführen, die mit den kinematischen Bedingungen (Lager) des Fachwerks verträglich ist
- Bestimmung der Geschwindigkeit in den Knoten, in denen Kräfte wirken
- Aus dem Prinzip der virtuellen Leistung (PdvL) folgt:  $P = 0 \rightarrow$  Berechnung der unbekannter Stabkraft  $S_i$   
**Wichtig immer nur einen Stab entfernen!**

## 5. Spannungen

### 5.1. Definition $\sigma$

Spannung  $\sigma$  ist Definiert als Kraft pro Fläche:  $[\sigma] = Pa = \frac{N}{m^2}$

### 5.2. Spannungsvektor $\underline{s}$



Der Körper wird geschnitten, der Spannungsvektor  $\underline{s}$  wird in die Normalspannung  $\sigma_n$  und die Schubspannung  $\tau$  geteilt.

$$\begin{aligned} \underline{s} &= s(\underline{x}, \underline{n}) & \underline{x} & \text{Ortsvektor, } \underline{n} \text{ Orientierung} \\ &= \sigma_n \cdot \underline{n} + \tau \cdot \underline{t} & \underline{n} \text{ und } \underline{t} & \text{sind normiert} \\ &= \underline{T} \cdot \underline{n} & \underline{n} & \text{ist normiert} \end{aligned}$$

$$\begin{aligned} \sigma_n &= (\underline{T} \cdot \underline{n}) \cdot \underline{n} & \underline{n} & \text{ist normiert und } \sigma \text{ nur Betrag} \\ &= \underline{s} \cdot \underline{n} \end{aligned}$$

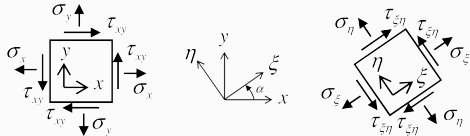
$$\begin{aligned} \tau &= (\underline{T} \cdot \underline{n}) \cdot \underline{t} & \underline{n} \text{ und } \underline{t} & \text{sind normiert und } \sigma \text{ nur Betrag} \\ &= \underline{s} \cdot \underline{t} \end{aligned}$$

### 5.3. Spannungstensor 2D $\underline{T}$

Ein Spannungstensor ist definiert durch einen Spannungsvektor  $\underline{s}$  von drei senkrecht aufeinanderstehenden Flächenelemente, in einem Punkt. D.h. sie sind definiert in einem Koordinatensystem.

Erinnerung:  $\underline{s}(\underline{n}) = \underline{T} \cdot \underline{n}$

Koordinatentransformation eines 2D-Tensors:



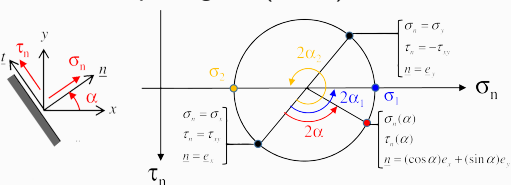
$$\underline{T}_{xy} = \begin{bmatrix} \sigma_n & \tau_{xy} \\ \tau_{xy} & \sigma_y \end{bmatrix} \quad \underline{T}_{\xi\eta} = \begin{bmatrix} \sigma_\xi & \tau_{\xi\eta} \\ \tau_{\xi\eta} & \sigma_\eta \end{bmatrix}$$

$$\begin{aligned} \sigma_\xi &= (\cos \alpha)^2 \sigma_x + (\sin \alpha)^2 \sigma_y + 2(\sin \alpha)(\cos \alpha) \tau_{xy} \\ \sigma_\eta &= (\sin \alpha)^2 \sigma_x + (\cos \alpha)^2 \sigma_y - 2(\sin \alpha)(\cos \alpha) \tau_{xy} \\ \tau_{\xi\eta} &= (\sigma_y - \sigma_x)(\sin \alpha)(\cos \alpha) + \tau_{xy}[(\cos \alpha)^2 - (\sin \alpha)^2] \end{aligned}$$

### 5.4. Normal- & Schubspannungen 2D

$$\begin{aligned} \sigma_n(\alpha) &= (\cos \alpha)^2 \sigma_x + (\sin \alpha)^2 \sigma_y + 2(\sin \alpha)(\cos \alpha) \tau_{xy} \\ \tau_n(\alpha) &= (\sigma_y - \sigma_x)(\sin \alpha)(\cos \alpha) + \tau_{xy}[(\cos \alpha)^2 - (\sin \alpha)^2] \end{aligned}$$

### 5.5. Mohrscher Spannungskreis (hier 2D)



Bemerkung: Positive Normalspannungen (Zug,  $\sigma > 0$ ) wirken in Richtung der Flächennormale  $\underline{n}$   
Positive Schubspannungen  $\tau > 0$  wirken in Richtung von  $\underline{t}$  (Rechtssystem:  $\underline{e}_z \cdot \underline{n} = 0$  und  $\underline{t} = \underline{e}_z \times \underline{n}$ )

### 5.6. Hauptspannungen 2D

Mit der folgender Formel kann man die Hauptspannungen ohne Hauptrichtungen errechnen, gilt für 2D:

$$\begin{aligned} \sigma_1 &= \frac{1}{2}(\sigma_x + \sigma_y) + \sqrt{\frac{1}{4}(\sigma_x - \sigma_y)^2 + (\tau_{xy})^2} \\ \sigma_2 &= \frac{1}{2}(\sigma_x + \sigma_y) - \sqrt{\frac{1}{4}(\sigma_x - \sigma_y)^2 + (\tau_{xy})^2} \end{aligned}$$

### 5.7. Hauptrichtungen 2D

Winkel der 1. HR:  $\tan(2\alpha_A) = \frac{2\tau_{xy}}{\sigma_x - \sigma_y}$   $0 \leq \alpha_A \leq 90^\circ$   $\alpha_B = \alpha_A + 90$

### 5.8. Maximale Schubspannung 2D

Gilt bei ebenem Spannungszustand oder wenn  $\underline{z}$  Hauptrichtung:

$$\tau_{max} = \sqrt{\frac{1}{4}(\sigma_x - \sigma_y)^2 + \tau_{xy}^2} \quad \alpha_{\tau_{max}} = \alpha_A \pm 45^\circ$$

### 5.9. Hauptspannungen 3D

Spezialfall: eine Hauptachse ist bekannt  $\rightarrow$  2D Problem lösen

Allgemeiner Fall: Eigenwertproblem lösen:

$\rightarrow$  Eigenwerte  $\lambda_{1,2,3}$  sind Hauptspannungen  
 $\rightarrow$  Die dazugehörigen Eigenvektoren ( $\underline{e}_1, \underline{e}_2, \underline{e}_3$ ) hier  $\underline{n}_i$  sind Hauptrichtungen, sie müssen ein Rechtssystem ergeben

$$\begin{aligned} \underline{T} \cdot \underline{n}_i &= \sigma_i \cdot \underline{n}_i & \text{wird zu: } \det(\underline{T} - \lambda \cdot \underline{I}) &= 0 \\ & & \lambda_{1,2,3} & \text{sind Eigenwerte} \\ & & \text{Eigenvektor } \underline{e}_1 & \text{durch: } (\underline{T} - \lambda_1 \cdot \underline{I}) \cdot \underline{v} = 0 \end{aligned}$$

Mit folgenden Formeln, lässt sich das Eigenwertproblem gut lösen ( $\sigma_I$  bis  $\sigma_{III}$  sind die Grundinvarianten des Spannungstensors):

$$\begin{aligned} \sigma_I &= \sigma_x + \sigma_y + \sigma_z \\ \sigma_{II} &= -\sigma_x \sigma_y - \sigma_x \sigma_z - \sigma_y \sigma_z + \tau_{xy}^2 + \tau_{xz}^2 + \tau_{yz}^2 \\ \sigma_{III} &= \det(\underline{T}) \end{aligned}$$

Grundinvarianten müssen in diese charakteristische Gleichung eingesetzt werden (Analog für Dehnungen). Werte für  $\lambda$  sind Hauptspannungen:

$$\lambda^3 - \lambda^2 \sigma_I - \lambda \sigma_{II} - \sigma_{III} = 0$$

### 5.10. Maximale Schubspannung 3D

$$\tau_{max} = \frac{1}{2} [max(\sigma_i) - min(\sigma_i)] \quad \text{mit Hauptspannungen } \sigma_i$$

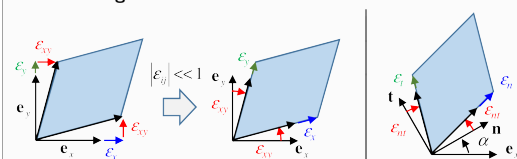
### 5.11. Spannungsfeld

Wenn Komponenten vom Spannungstensor  $\underline{T}$  als Funktion von  $x, y, z$  gegeben sind, gelten folgende Beziehungen. Ziel: Normalspannungsverteilung zu finden.  $f$  steht dabei für die Raumkraftdichte z.B. Gewichtskraft:

$$\begin{aligned} \sigma_{x,x} + \tau_{xy,x} + \tau_{xz,x} + f_x &= 0 \\ \tau_{yx,x} + \sigma_{y,y} + \tau_{yz,y} + f_y &= 0 \\ \tau_{zx,x} + \tau_{zy,y} + \sigma_{z,z} + f_z &= 0 \end{aligned}$$

## 6. Verzerrungen

### 6.1. Grundlagen



$$\begin{aligned} \epsilon_x & \text{ Dehnung in } x\text{-Richtung} & +: \text{Dehnung, } -: \text{Kürzung} \\ \epsilon_{xy} & \text{ Schubverzerrung} & +: \text{Winkelverkleinerung, } -: \text{Winkelvergrößerung} \\ \gamma_{xy} &= 2 \cdot \epsilon_{xy} & \text{Schubwinkel} \end{aligned}$$

$$\begin{aligned} \epsilon_x(\alpha) &= (\underline{E} \cdot \underline{n}) \cdot \underline{n} & \underline{n} \text{ und } \underline{t} \text{ normiert} \\ \epsilon_{xy}(\alpha) &= (\underline{E} \cdot \underline{n}) \cdot \underline{t} \end{aligned}$$

### 6.2. Verschiebungsfeld

Ein Körper wird in eine neue, deformierte Ruhelage überführt. Diese Deformation kann beschrieben werden durch das Verschiebungsfeld.

$$\underline{u} = \begin{bmatrix} u(x, y, z) \\ v(x, y, z) \\ w(x, y, z) \end{bmatrix}$$

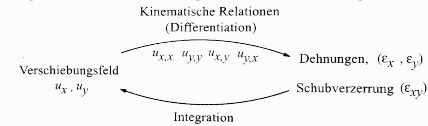
### 6.3. Verzerrungstensor $\underline{E}$

Der Verzerrungstensor enthält alle Infos zur Deformation in einem Punkt.

$$\underline{E} = \begin{bmatrix} u_{x,x} & \frac{1}{2}(u_{x,y} + u_{y,x}) & \frac{1}{2}(u_{x,z} + u_{z,x}) \\ \frac{1}{2}(u_{x,y} + u_{y,x}) & u_{y,y} & \frac{1}{2}(u_{y,z} + u_{z,y}) \\ \frac{1}{2}(u_{x,z} + u_{z,x}) & \frac{1}{2}(u_{y,z} + u_{z,y}) & u_{z,z} \end{bmatrix}$$

$$= \begin{bmatrix} \epsilon_x & \frac{1}{2}\gamma_{xy} & \frac{1}{2}\gamma_{xz} \\ \frac{1}{2}\gamma_{xy} & \epsilon_y & \frac{1}{2}\gamma_{yz} \\ \frac{1}{2}\gamma_{xz} & \frac{1}{2}\gamma_{yz} & \epsilon_z \end{bmatrix} = \begin{bmatrix} \epsilon_x & \epsilon_{xy} & \epsilon_{xz} \\ \epsilon_{xy} & \epsilon_y & \epsilon_{yz} \\ \epsilon_{xz} & \epsilon_{yz} & \epsilon_z \end{bmatrix}$$

Beziehung zwischen Verschiebungsfeld und Verzerrungstensor:



Vorzeichenkonvention für Mohrkreis:

$$[\underline{T}] = \begin{bmatrix} HS & + & - \\ - & HS & + \\ + & - & HS \end{bmatrix}$$

## 7. Lineares Stoffverhalten

### 7.1. Einachsiger Spannungszustand

Der Zusammenhang zwischen Spannung und Dehnung kann im linearelastischen, Isotropischen Fall mithilfe der Materialkonstanten E-Modul  $E$  und Querdehnungszahl  $\nu$  dargestellt werden:

$$\epsilon = \frac{\sigma}{E} \quad \epsilon_y = \epsilon_z = -\nu \frac{\sigma_x}{E} \quad \epsilon = \frac{\Delta L}{L} = \alpha \cdot (\Delta T)$$

$E$	Elastizitätsmodul	$[\frac{N}{m^2}]$	Beziehung zwischen $\sigma_x$ und $\epsilon_x$
$\nu$	Querdehnungszahl	$[-]$	Poissonzahl, Materialkonstante, 0-0.5
$G$	Schubmodul	$[\frac{N}{m^2}]$	Bez. zw. $\tau_{xy}$ & $\epsilon_{xy}$ : $G = \frac{\tau_{xy}}{2\epsilon_{xy}}$
$K$	Kompressionsmodul	$[\frac{N}{m^2}]$	Bez. zw. Volumendehnung und Druck

### 7.2. Räumlicher Spannungszustand

Formeln für Dehnungen, mit Temperaturänderungskoeffizienten:

$$\begin{aligned} \epsilon_x &= \frac{1}{E}[\sigma_x - \nu(\sigma_y + \sigma_z)] + \alpha \cdot \Delta T & \epsilon_{xy} &= \frac{1}{2G} \tau_{xy} \\ \epsilon_y &= \frac{1}{E}[\sigma_y - \nu(\sigma_x + \sigma_z)] + \alpha \cdot \Delta T & \epsilon_{xz} &= \frac{1}{2G} \tau_{xz} \\ \epsilon_z &= \frac{1}{E}[\sigma_z - \nu(\sigma_x + \sigma_y)] + \alpha \cdot \Delta T & \epsilon_{yz} &= \frac{1}{2G} \tau_{yz} \end{aligned}$$

Formeln für Spannungen, mit Temperaturänderungskoeffizienten:

$$\begin{aligned} \sigma_x &= \frac{E}{(1+\nu)(1-2\nu)} [(1-\nu)\epsilon_x + \nu(\epsilon_y + \epsilon_z)] - \frac{E}{(1-2\nu)} \alpha \Delta T \\ \sigma_y &= \frac{E}{(1+\nu)(1-2\nu)} [(1-\nu)\epsilon_y + \nu(\epsilon_x + \epsilon_z)] - \frac{E}{(1-2\nu)} \alpha \Delta T \\ \sigma_z &= \frac{E}{(1+\nu)(1-2\nu)} [(1-\nu)\epsilon_z + \nu(\epsilon_x + \epsilon_y)] - \frac{E}{(1-2\nu)} \alpha \Delta T \end{aligned}$$

$$G = \frac{E}{2(1+\nu)} \quad K = \frac{E}{3}(1-2\nu)^{-1}$$

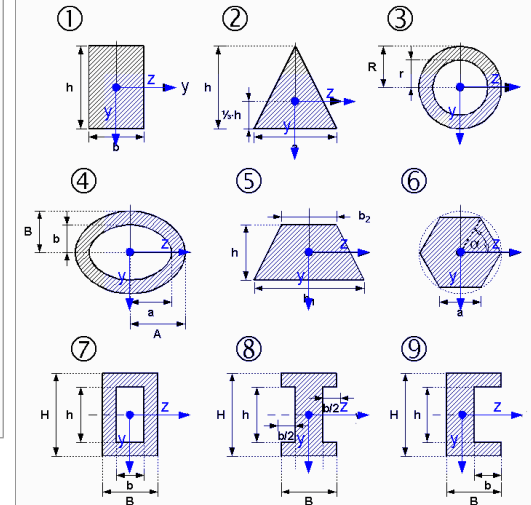
Längenänderung durch Temperaturänderung:  $\Delta L = L_0 \cdot \alpha \cdot \Delta T$

## 8. Balkentheorie für spez. Biegung

### 8.1. Flächenträgheitsmoment $I_y, I_z$

Ein Fl.Tr.Mom. ist das Moment, das durch die Drehung eines Querschnitts bezügl. einer Achse ausgelöst wird.

$$I_y = \iint_A z^2 dA \quad I_z = \iint_A y^2 dA$$



	$I_z$	$I_y$
1	$\frac{b \cdot h^3}{12}$	$\frac{h \cdot b^3}{12}$
2	$\frac{a \cdot h^3}{36}$	$\frac{h \cdot a^3}{36}$
3	$\frac{\pi}{4} \cdot (R^4 - r^4)$	$= I_y$
4	$\frac{\pi}{4} \cdot (AB^3 - ab^3)$	$\frac{\pi}{4} \cdot (BA^3 - ba^3)$
5	$\frac{h^3(b_1 + b_2)^2 + 2b_1 b_2}{36(b_1 + b_2)}$	$\frac{h}{48}(b_1 + b_2)(b_1^2 + b_2^2)$
6	$\frac{ma^4}{96} \cdot \frac{2 + \cos(\alpha)}{(1 - \cos(\alpha))^2} \cdot \sin(\alpha)$	$= I_y$
7	$\frac{1}{12} \cdot (BH^3 - bh^3)$	$\frac{1}{12} \cdot (HB^3 - hb^3)$
8	$\frac{1}{12} \cdot (BH^3 - bh^3)$	$\frac{1}{12} [(H-h)B^3 + h(B-h)^3]$
9	$\frac{1}{12} \cdot (BH^3 - bh^3)$	

### 8.2. Deviationsmoment $C_{yz}$

Ist ein Körper nicht symmetrisch bezüglich einer Rotationsachse, entsteht bei einer Drehung ein Deviationsmoment:

$$C_{yz} = \iint_A yz dA$$

### 8.3. Analogie zu Spannungen und Dehnungen

Hier haben wir das Flächenträgheitsmomente und Deviationsmoment bezüglich der  $y$ - und  $z$ -Drehachse berechnet. Analog zu den Spannungen, kann man Trägheitsmomente auch bezügl. anderer Achsen berechnen. Beachten muss man Fl.Tr.Mom. und Deviationsmomente z.B.:

$$I_\eta = (\cos \alpha)^2 I_y + (\sin \alpha)^2 I_z + 2(\sin \alpha)(\cos \alpha) C_{yz}$$

### 8.4. Verschiebungssatz (Satz von Steiner)

Unterteilt man einen Körper oder berechnet man das Flächenträgheitsmoment nicht bezüglich dem Massenmittelpunkt:

$$\begin{aligned} I_y &= I_{y'} + (z_Q)^2 \cdot \Delta A & z_Q, y_Q & \text{: Abst. der Koord.systeme} \\ I_z &= I_{z'} + (y_Q)^2 \cdot \Delta A & \Delta A & \text{: Fläche des betrachteten Körpers} \end{aligned}$$

### 8.5. Biegelinie für spez. Bieg.

$$v''(x) = \frac{M_b(x)}{EI_z} \quad \text{oder} \quad v(x) = \frac{1}{EI_z} \iint M_b(x) dx$$

#### Statisch unbestimmte Systeme lösen

1. Flächenträgheitsmomente ( $I_y, I_z$ ) berechnen
2. Lagerkräfte bestimmen
3. Beanspruchung bestimmen
4.  $v''(x)$  integrieren
5. Randbedingungen bestimmen
6.  $v(x)$  bestimmen

### 8.6. Allgemeine Biegung

Formeln gelten, wenn  $y$  und  $z$  Hauptachsen sind. Normalspannung in  $x$ -Richtung:

$$\sigma_x(x, y, z) = \frac{N(x)}{A} - \frac{M_z(x)}{I_z} \cdot y + \frac{M_y(x)}{I_y} \cdot z$$

DGLs für die Mittellinie:

$$u_0''(x) = \frac{N(x)}{EA} \quad v_0''(x) = \frac{M_z(x)}{EI_z} \quad w_0''(x) = -\frac{M_y(x)}{EI_z}$$

Dehnung in  $x$ -Richtung:

$$\varepsilon(x, y, z) = u_0' - y \cdot v_0''(x) - z \cdot w_0''(x)$$

### 8.7. Normalspannung infolge Balkenbiegung

$$\sigma_x = \frac{-M_b(x) \cdot y}{I_z} \quad \text{mit} \quad v(x) = \frac{1}{EI_z} \iint M_b(x) dx$$

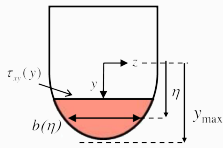
Hier gilt das Prinzip der Superposition. D.h. die Normalspannung  $\sigma_x$  ergibt sich aus:  $\sigma_x = \sigma_{xi}$  aus Zugbelastung +  $\sigma_{xii}$  aus Balkenbiegung

### 8.8. Schubspannung infolge Querkraft:

Für Vollquerschnitte:

$$\tau_{xy}(x, y) = \frac{Q_y(x) \cdot H_z(y)}{I_z \cdot b(y)}$$

$$H_z(y) = \int_y^{y_{max}} \eta \cdot b(\eta) d\eta$$



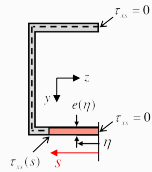
$H_z(x)$ : Flächentr. moment 1. Ordnung,  $b(y)$ : Breite des Querschnitts

Für offene dünnwandige Querschnitte:

$$\tau_{xy}(x, y) = \frac{-Q_y(x) \cdot H_z(y)}{I_z \cdot b(y)}$$

$$H_z(y) = \int_0^s y(\eta) \cdot e(\eta) d\eta$$

Bei Polarkoord.  $d\eta = r \cdot d\varphi$



## 9. Torsion

### 9.1. Verdrehungswinkel $\vartheta$

$$\vartheta = \int_a^b \frac{T(x)}{G \cdot I_T} dx$$

Formel, falls der Querschnitt sich über Länge ändert, bei Kreisquerschnitten:  $I_T = I_p$

$$\vartheta = \frac{T \cdot L}{G \cdot I_p}$$

Formel, falls konstanter Kreisquerschnitt

$$\text{Schubmodul } G = \frac{E}{2(1+\nu)}$$

### 9.2. Polares Flächenträgheitsmoment $I_p$

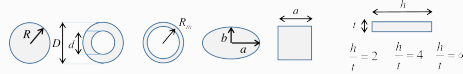
Mit dem pol. Fl.tr.mom.  $I_p$  wird das Fl.tr.mom. einer Fläche um einen definierten Punkt (meist ihr Schwerpunkt) beschrieben. Bei Kreisquerschnitten ist es gleich, wie das Torsionsträgheitsmom.  $I_T$ .

$$I_p = I_y + I_z = \iint (y^2 + z^2) dA$$

### 9.3. Schubspannung bei Kreis- und Vollquerschnitten

$$\tau_{x\varphi} = \frac{T \cdot r}{I_T}$$

Formel für Schubspannung infolge von Torsion, nur bei kreisförmigen Querschnitten brauchen, da keine Verwölbung, auch bei Kreisförm.:  $I_T = I_p$



$I_T$	$\frac{\pi R^4}{2}$	$\frac{\pi(D^4 - d^4)}{32}$	$2\pi R^4$	$\frac{\pi a^3 b^3}{a^2 + b^2}$	0.141a <sup>4</sup>	0.238h <sup>3</sup>	0.28ht <sup>3</sup>	$\frac{ht^3}{3}$
$W_T$	$\frac{\pi R^3}{2}$	$\frac{\pi(D^3 - d^3)}{16D}$	$2\pi R^3$	$\frac{\pi ab^3}{2}$	0.208a <sup>3</sup>	0.25ht <sup>2</sup>	0.28ht <sup>2</sup>	$\frac{ht^2}{3}$
Verwölbung	nein	nein	nein	ja	ja	ja	ja	ja

$$\tau_{max} = \frac{T}{W_T} \quad W_T: \text{Torsionswiderst. Mom.}, \quad I_T: \text{Torsionsträg. Mom.}$$

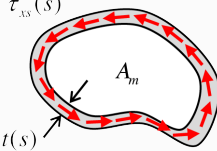
### 9.4. Dünnwandige geschlossene Querschnitte

$$\tau_{xs}(s) = \frac{T}{2A_m t(s)} \quad \tau_{xy}(s)$$

$$I_T = \frac{(2A_m)^2}{U}$$

$$W_T = 2A_m \cdot \min(t)$$

$$U = \oint \frac{1}{t(s)} ds$$

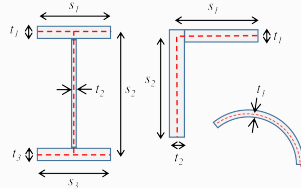


$U$ : Umlaufintegral entlang der Profilmittellinie,  $A_m$ : Von Profilmittell. eingeschl. Fläche,  $t(s)$ : Wandstärke

### 9.5. Dünnwandige offene Querschnitte

$$I_T \approx \frac{1}{3} \sum_i s_i t_i^3$$

$$W_T \approx \frac{I_T}{\max(t_i)}$$



## 10. Energiesätze

### 10.1. Prinzip der virtuellen Arbeit

Die Summe der inneren Arbeiten  $\widehat{W}_i$  und der äusseren Arbeiten  $\widehat{W}_e$  ist null.

$$\widehat{W}_i + \widehat{W}_e = 0 \quad \text{wobei}$$

$$\widehat{W}_i = \int_l (\widehat{N}\varepsilon + \widehat{V}_y\gamma_y + \widehat{V}_z\gamma_z + \widehat{M}_y\chi_y + \widehat{M}_z\chi_z) dx$$

$$\widehat{W}_e = \sum_{i=1}^n F_i \cdot \widehat{u}(x_i) + \sum_{j=1}^m \Gamma_j \cdot \widehat{\varphi}(x_j) + \int_l q(x) \cdot \widehat{u}(x) + m(x) \cdot \widehat{\varphi}(x) dx$$

### 10.2. Elastisches Ergänzungspotential $\varepsilon^{*,el}$

$$\varepsilon^{*,el} = \frac{1}{2} \int_l \frac{N^2}{EA} + \frac{V_y^2}{GA_{v,y}} + \frac{V_z^2}{GA_{v,z}} + \frac{M_y^2}{EI_y} + \frac{M_z^2}{EI_z} dx$$

$$\text{Feder im System: } \varepsilon_{\text{Feder}}^{*,el} = \frac{F^2}{2k} \quad \varepsilon_{\text{Drehfeder}}^{*,el} = \frac{\Gamma^2}{2c_\varphi}$$

### 10.3. Satz von Castigliano

Man betrachte ein elastisches System unter der Belastung der Einzellasten  $\{F_i = F_i \underline{e}_i, i = 1, \dots, n\}$  an den Punkten  $A_i$ .

Die Verschiebung  $u_i$  des Punktes  $A_i$  in der Richtung  $\underline{e}_i$  berechnet sich nach:

$$u_i = \frac{d}{dF_i} \varepsilon^{*,el}$$

### 10.4. Satz von Müller Breslau

Man betrachte ein elastisches System unter den Belastungen  $\{F_i, i = 1, \dots, n\}$  an den Punkten  $A_i$  und die daraus resultierenden Schnittgrößen  $\{N, V, M\}$ .

Will man die Verschiebung  $\delta_B$  des Punktes  $B$  in Richtung  $\underline{e}$  berechnen, so setzt man eine Einheitskraft am Punkt  $B$  in dieser Richtung an, aus welcher die Schnittgrößen  $\{\bar{N}, \bar{V}, \bar{M}\}$  resultieren (ohne Belastung  $F_i$ ).

Die Verschiebung  $\delta_B$  beträgt dann:

$$\delta_b = \int_l \left( \frac{N\bar{N}}{EA} + \frac{V\bar{V}}{GA_v} + \frac{M\bar{M}}{EI} \right) dx$$

Zusätze (werden rechts addiert):

$$\underbrace{\frac{F\bar{F}}{k}}_{\text{Feder}} \quad \underbrace{\frac{\Gamma\bar{\Gamma}}{c_\varphi}}_{\text{Drehfeder}} \quad \underbrace{-\frac{u \cdot d \cdot R}{EA}}_{\text{Aufgew. Verschieb.}}$$

### 10.5. Verwenden der Integrationsstabelle

Faktor der Int. tabelle	Maximalwert Schnittgrößen $N, V, M$	Maximalwert Schnittgrößen $\bar{N}, \bar{V}, \bar{M}$	Länge des Stabs	Form änderungs faktor
$\int_0^l p(x)k(x)dx$	$\frac{1}{2} pks$	$\frac{2}{3} pks$	$\frac{1}{3} pks$	$\frac{1}{6} pks$
$\int_0^l k(x)dx$	$\frac{1}{3} pks$	$\frac{8}{15} pks$	$\frac{kS}{2} (p_l + p_r)$	$\frac{kS}{6} (2p_l + p_r)$

### Kraftmethode Vorgehen

1. Grad der statischen Unbestimmtheit  $h$  berechnen mit Abzählkriterium  $h = p + r - 3n$
2.  $h$  überzählige Bindungen lösen. Man bekommt stat. best. System. Dann, unbekannte Grösse  $X_i$  an Stelle der gelösten Bindungen einführen. Eine Grösse  $X_i$  für gelöste Lagerbedingungen und zwei entgegengesetzte Grössen  $X_i$  beidseitig des Gelenks für gelöste innere Bindungen.
3. Lagerreaktionen und Schnittgrößen unter externer Belastung berechnen.
4. Für jeden Einheitslast  $X_i = 1$  Lagerreaktionen und Schnittgrößen berechnen
5. Terme der Nachgiebigkeitsmatrix  $[\delta]$  und Vektor  $\delta_0$  bestimmen
6. Satz von Menabra anwenden, LGS auflösen
7. Man erhält Lagerreaktionen und Schnittgrößen durch Superposition am unbest. System.

### 11.2. Kraftmethode Formelkonzept 1-fach Stat. Unbest.

Schnittgrößen  $\{N, V, M\}$  am statisch unbest. System berechnen:

$$\delta_{01} + x \cdot \delta_{11} = 0 \rightarrow x = -\frac{\delta_{01}}{\delta_{11}}$$

$$\delta_{01} = \int_L \left( \frac{N_0 N_1}{EA} + \frac{V_0 V_1}{GA_v} + \frac{M_0 M_1}{EI} \right) dx$$

$$\delta_{11} = \int_L \left( \frac{N_1 N_1}{EA} + \frac{V_1 V_1}{GA_v} + \frac{M_1 M_1}{EI} \right) dx$$

$$M = M_0 + x \cdot M_1 \quad V = V_0 + x \cdot V_1 \quad N = N_0 + x \cdot N_1$$

### 11.3. Kraftmethode Formelkonzept 2-fach Stat. Unbest.

$$\begin{bmatrix} \delta_{01} \\ \delta_{02} \end{bmatrix} + \begin{bmatrix} \delta_{11} & \delta_{12} \\ \delta_{21} & \delta_{22} \end{bmatrix} \cdot \begin{bmatrix} X_1 \\ X_2 \end{bmatrix} = \begin{bmatrix} 0 \\ 0 \end{bmatrix}$$

$$\begin{bmatrix} X_1 \\ X_2 \end{bmatrix} = -\frac{1}{\delta_{11}\delta_{22} - \delta_{12}^2} \begin{bmatrix} \delta_{22} & -\delta_{12} \\ -\delta_{12} & \delta_{11} \end{bmatrix} \cdot \begin{bmatrix} \delta_{01} \\ \delta_{02} \end{bmatrix}$$

### 11.4. Reduktionssatz

Man betrachte ein statisch unbestimmtes System unter einer externen Belastung mit resultierenden Schnittgrößen  $\{N, V, M\}$ .

Um die Verschiebung  $\delta_B$  im Punkt  $B$  zu berechnen, wird eine fiktive Einheitskraft  $\underline{1}_B$  am statisch bestimmten Grundsystem am Punkt  $B$  angesetzt, woraus die Schnittgrößen  $\{\bar{N}_0, \bar{Q}_0, \bar{M}_0\}$  resultieren.

$$\delta_b = \int_L \left( \frac{N\bar{N}}{EA} + \frac{V\bar{V}}{GA_v} + \frac{M\bar{M}}{EI} \right) dx$$

### Reduktionssatz Vorgehen

1. Schnittgrößen  $N, V, M$  des statisch unbestimmten Systems durch Kraftmethode bestimmen
2. Ansetzen von Einheitsgrösse  $X = 1$  am stat. bestimmten System an Stelle der gesuchten Verformung
3. Bestimme Schnittgrößen  $\bar{N}, \bar{V}, \bar{M}$  infolge von  $X = 1$  am statisch bestimmten System
4. Wende den Satz von Müller-Breslau an

## 12. Baustatik spezifische Themen

### 12.0.1. Wirksame Schubflächen $A_{v,y}$ , $A_{v,z}$

$$A_v = \left[ \frac{S_y^2(y)}{I_y^2 b^2(z) dA} \right]^{-1} \quad A_{v,\text{Rechteck}} = \frac{5}{6} A$$

### 12.1. Nachgiebigkeitsmatrix - Satz von Maxwell-Betti

Die Nachgiebigkeitsmatrix  $\delta$  ist symmetrisch. Den allgemeinen Ausdruck  $\delta_{ij}$  für die Verschiebung am Punkt  $A_i$  durch Einheitslast am Punkt  $A_j$  erhält man durch:

$$\delta_{ij} = \int_l \left( \frac{N_i(x)N_j(x)}{EA} + \frac{V_i(x)V_j(x)}{GA_v} + \frac{M_i(x)M_j(x)}{EI} \right) dx$$

### 12.2. Satz von Clapeyron

Befindet sich ein elastisches System unter den Lasten  $\{F_1, \dots, F_n\}$  im Gleichgewicht, so beträgt das Ergänzungspotential  $\varepsilon^{*,el}$  die Hälfte der Arbeit der äusseren Kräfte im Lösungsverschiebungsfeld:

$$\varepsilon^{*,el} = \frac{1}{2} \int_l \frac{M^2(x)}{EI} dx = \frac{1}{2} \sum_{i=1}^n u_i F_i = \frac{1}{2} \sum_{i=1}^n \sum_{j=1}^n \delta_{ij} F_i F_j$$